

Fig. 8. Effect of alloying elements on corrosion loss of cast stainless steels in boiling 1wt% HCl.

以上の結果から、腐食の場合にはその組織よりも組成元素の種類と量によつていちじるしく影響されることが認められた。

IV. 結 言

1. オーステナイト+フェライト・ステンレス鋼の常温の機械的性質はフェライト量と次の式に示すような直線関係がある。フェライト量%を x とすれば

$$\sigma_T (\text{kg/mm}^2) = 53.9 + 0.37x$$

$$\sigma_Y (\text{kg/mm}^2) = 16.5 + 0.56x$$

$$\sigma_E (0.002\%) (\text{kg/mm}^2) = 11.7 + 0.34x$$

$$H_B = 118 + 2.4x$$

$$\delta (\%) = 66.8 - 0.63x$$

2. 同一フェライト量でも常温の機械的強度は Si > Mn > Mo の順に大きくなる傾向が認められる。

3. 800°C 高温短時間機械的性質および耐食性はフェライト量との間に一定の関係がなく、主として組成元素の種類とその含有量によつて決定される。

文 献

- 1) ACI Data Sheet CF-8
- 2) A. Z. LENA: Iron Age, 174 No. 23 Dec. (1959) p. 228
- 3) Metals Handbook ASM, 8th Ed p. 436
- 4) 森岡 進: “不銹鋼” 日本金属学会, (1953)
- 5) J. M. BIALOSKY: CORROSION, 12 Feb (1956) p. 59
- 6) 中川龍一, 他: 鉄と鋼, 48 (1962), p. 1505

真空溶融法におけるNおよびCOガスの抽出について*

(真空溶融法による鉄鋼中ガス分析に関する考察—I)

小泉武二**・津金不二夫**・鎌倉正孝**

On the Extraction of N and CO Gases by the Vacuum Fusion Method.

(Studies on the analysis of gases in steels by the vacuum fusion method—I)

Takeji KOIZUMI, Fujio TSUGANE and Masataka KAMAKURA

Synopsis:

The authors made some experiments to study the effects of various alloying elements on the analytical values of N and O in steels by the vacuum fusion method. Obtained results are as follows.

(1) As for the N gas, by the vacuum fusion the samples containing Cr, Mo, or V make the extraction incomplete and the values obtained are lower than those by the chemical (Kjeldahl) method. This is considered to be caused by the increase of N solubility in molten steels.

* 昭和37年10月本会講演大会にて発表 昭和38年8月15日受付

** 特殊製鋼株式会社

(2) As for the CO extraction, it is known that the samples containing Al or Mn give lower values and that the metal film condensed on the inner wall of apparatus adsorbs the CO gas. The authors analysed capsule shaped pure iron specimens to which Al or Mn were added and ascertained that the O values decreased quantitatively with increases of such elements.

The Mo-hood effectively prevented the formation of the condensed metal film and recovered O values.

(Received 15 Aug. 1963)

I. 緒 言

鉄鋼中のガスの分析に真空溶融法を用いることは、古く1920年代から行なわれ、その後幾多の改良が加えられ、今日では、ごく一般的になつてゐる。またこの方法による分析値が、各種のガス分析方法の基準として採用されていることは周知のとおりである。このように、相當信頼性があるとみなされている真空溶融法においても、まだ誤差の原因となり、あるいは真の含有量を求めるための障害となつてゐる^{2), 3)}現象が解明されずに残されている。その一つとして、試料に含有される元素のガス抽出におよぼす影響があげられる。著者らは、この問題について検討を加えた。試料溶解時のN抽出の傾向およびプランク値との関係を求め、さらに試料がCr, Vなどの、Nを安定化して溶解度を増加する元素を含有した場合について調査した。また、CO抽出に関しても古くから THANHEISER¹⁾、米田²⁾³⁾、沢⁴⁾らによつて指摘されているように試料に含有される Al, Mn が O 分

析値に低値を与えることがよく知られている。これは試料溶融炉管内壁に生ずるこれらの金属の蒸着膜にCOガスが吸着するためであるといわれているが、その含有量との関連性も明らかでなく、また特にこの吸着を防止する方法とその効果についての発表はみられない。この点に関して Al, Mn 含有量と、O 分析値の関係を定量的に把握する目的で純鉄に Al, Mn などを添加してその効果を調査した。さらにこれら金属の溶融炉管内壁への蒸着を防止するためのMoフードを使用して良好な結果を得た。

II. 装置および実験方法

装置は定容測圧式（離合社製 SHO-II型）真空溶融法ガス分析装置、および定圧オルザット式（学振型）真空溶融法ガス分析装置の2種類を使用した。Fig. 1, Fig. 2に両者の概略を示した。両装置の分析条件はTable 1に記した。

特徴としてあげられるのは定容測圧式装置で抽出ポンプのスピードが定圧オルザット式に比して2倍以上になつてゐること、およびガス抽出時間が約1/3以下になつてゐることである。

III. Nガスの抽出について

鉄鋼中のNガスの抽出に関しては従来から各種の文献^{5)~10)}にみられる通り、COガスより抽出が遅れる傾向がある。またそのために、分析値に関して信頼し得るとするものと信頼し得ないとするものとの2通りの文献がみられる⁸⁾¹⁰⁾。われわれはこの点に関して調査を行ない、さらにN溶解度を増加するCr, Vなどの合金元素の影響を、実際試料について実験した。

i) 定圧オルザット式装置において、ガスの抽出状況を調査するために、30minの抽出時間を前半20min

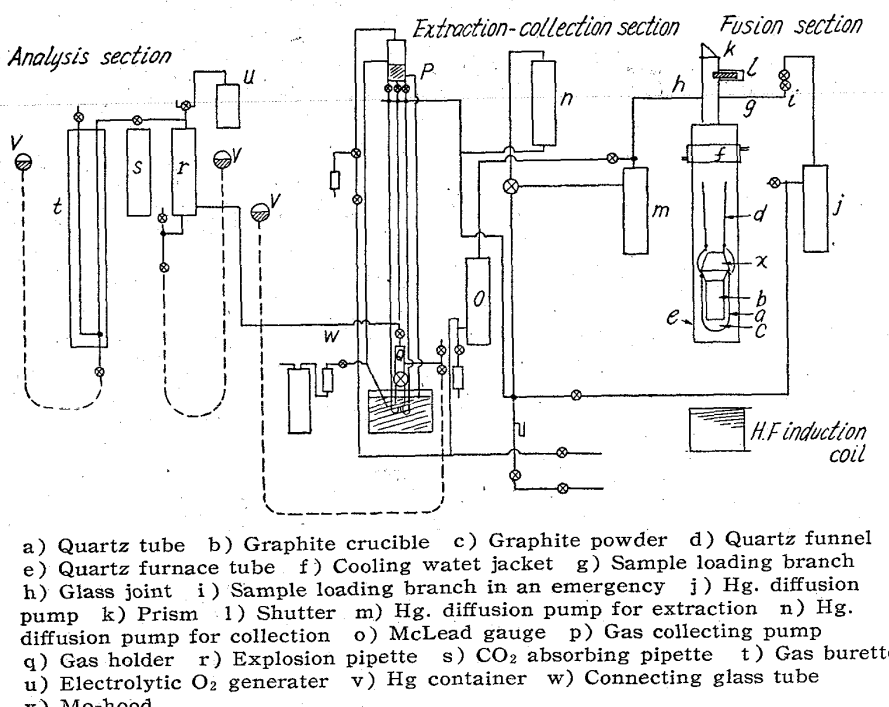
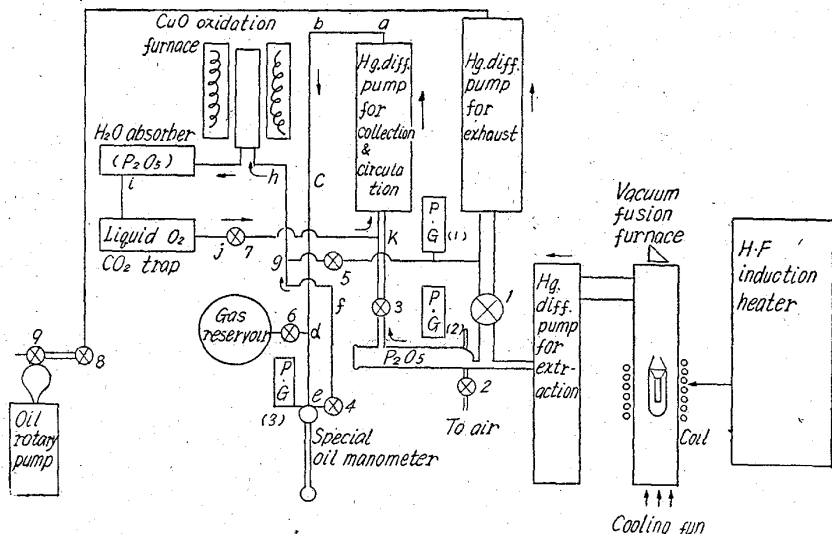


Fig. 1. Vacuum fusion apparatus for determining gases in metals
(Constant pressure Orsat type)

Table 1. Comparison of apparatus and analytical conditions.

Apparatus	Graphite crucible		Diameter of quartz furnace tube	Velocity of extraction Hg. diff. pump	Sample weight	Extraction temp.	Extraction time
	Inner diameter	Depth					
Const. press. Orsat type	11 mm	55 mm	(inner) 50 mm	25~30 l/sec	3.5~4.0 g	(drop in at 1550°C) 1850°C	30 min
Const. vol. press. measuring type	18	65	(outer) 70	Max. 60	2.0	1850	5~8



1~9: Cocks, (1)(2)(3): Pirani gauge, a~k: Circulation path for analysis.

Fig. 2. Block diagram of vacuum fusion apparatus for determining gases in metals.

(Constant volume pressure measuring type)

後半 10min に分けて、それぞれの時間内に抽出される全ガスの成分組成を求めた。Fig. 3 に Cr 鋼の実際試料 (C 0.10, Si 0.35, Mn 0.62, Cr 13.10) 分析 10 回分の平均値を示す。単位は試料 1g 当りの抽出量とした。さらにこれらのガスの各 30min 抽出全量に対する割合をグラフに示したもののが Fig. 4 である。

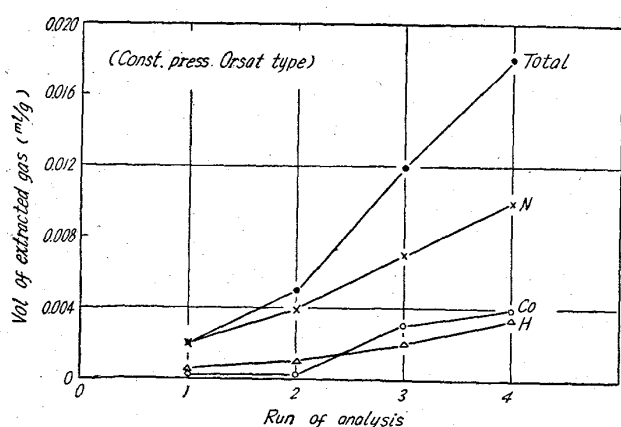


Fig. 3. Components of gas extracted in the last 10min of a reaction period.
(Cr-steel)

これらのグラフから鋼中O分析のためのCO抽出は20minではほぼ十分であるが、N抽出は遅れ、試料投入前の真圧度に回復するにはさらに10min以上が必要となることが明らかである。また、試料投入順にしたがつてNの残留量が著増して、4番目試料では30minの全N抽出量の中18%が後半10minにててきていることがわかる。

ii) 定容測圧式装置において炭素鋼標準試料 (C 0.39, Si 0.29, Mn 0.70, P 0.008, S 0.009, Al 0.029) を用いて、通常の抽出時間の約2倍15minで分析を行ない、N分析値の投入順による変動を調べた結果をFig. 5に示す。

図中にキエルダール法による分析値を併記したが、投入第1番目の試料からすでに真空溶融法によるN分析値が低値を示していることがわかる。また、投入順にしたがいN分析値が減少していくことが明らかで、小鹿原、他¹²が18-8ステンレス鋼について発表した結果と一致した傾向を示している。

iii) 定容測圧式装置におけるブランク値を実際試料について調査した。試料は炭素鋼標準試料の他Cr, V中

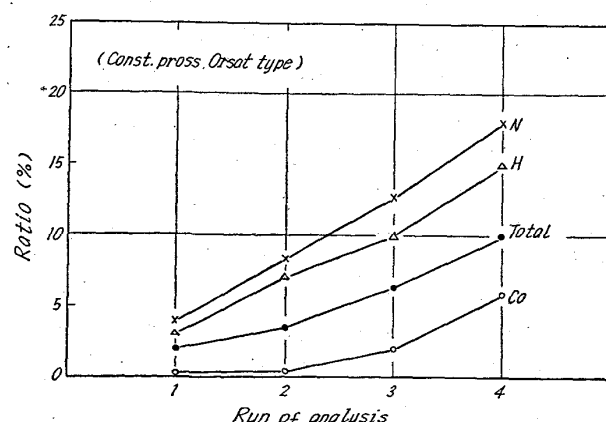


Fig. 4. Ratio of gas extracted in the last 10min of a reaction period to each total volume
(Cr-steel)

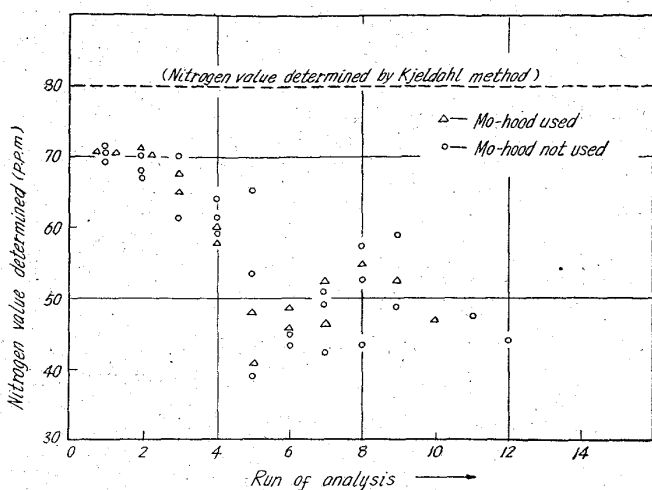


Fig. 5. Influence of the run of analysis on the nitrogen value determined (C-steel).

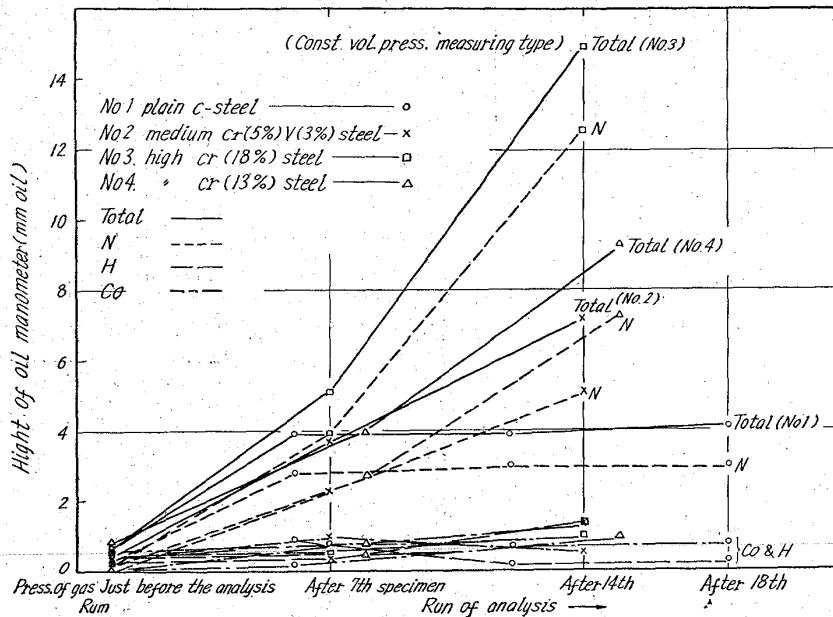


Fig. 6. Variations of blank gas composition according to the run of analysis.

合金鋼、高Cr鋼などで成分含有量をTable 2に示す。

これらを数個連続投入後に抽出時間と同じ15minのブランクガスを捕集分析して、成分組成を調査した結果をFig. 6に示す。なお図中oil manometerの1mm圧はガス体 0.00576 NmL/mm である。

グラフから明らかなように試料投入順にしたがいブランク値が増加する。Cr, Vを含有する試料では特にこの影響がいちじるしい。成分組成ではH、または、COガスはほとんど増加せず分析値にも影響を与えない程度の微量である。これに反し、Nは試料の投入が進むにつれて増加し、ブランク値増加の大部分がNの増加によるものであることがわかる。また、その増加が鋼種によつていちじるしい差がある。すなわち、炭素鋼、Cr, V中合金鋼、13Cr鋼、18Cr鋼の順にN量が多くなっていることがわかる。Cr, Vなどが抽出を妨げ通常の2倍の抽出時間でも溶融試料からの分解放出が完全でなく抽出時間後も徐々に捕集されてくるものである。したがつて各試料の真空溶融法によるN分析値は低値を与えているものと考えられる。

iv) 標準(社内)試料について、真空溶融法とキエルダール法による分析値とを比較した結果をTable 3に示したが前者は定圧オルザット式、定容測圧式両装置とともに低値になつてゐる。

これは上記Fig. 3~6から明らかのように試料中のNが完全に抽出されず一部が坩堝内金属に残留するためと考えられる。以上N抽出に関して述べたが、現

Table 2. Chemical composition of ordinary samples used for blank test.

	Spec.	Type of steel	C	Si	Mn	P	S	Ni	Cr	Mo	W	V	Cu	Co
No. 1	S-35-C	Plain C-steel	0.30~0.40	0.15~0.35	0.60~0.85	0.030 max	0.030 max	0.25 max	0.20 max				0.30 max	
No. 2	SKH 3	Medium Cr, V and Mo-steel	0.70~0.85	0.35 max	0.60 max	"	"		3.50~4.50		17.00~19.00	0.80~1.20		4.50~5.50
	SKH 9		0.75~0.90	0.35 max	0.60 max	"	"		3.50~4.50	4.00~6.00	6.00~7.00	1.80~2.30		
No. 3	SUS 27	High Cr-steel	0.08 max	1.00 max	2.00 max	0.040 max	0.030 max	8.00~11.00	18.00~20.00					
No. 4	SUS 21	High Cr-steel	0.12 max	0.75 max	1.00 max	0.040 max	0.030 max		12.00~14.00			0.20~0.50	0.25 max	
	SKD 11		1.40~1.60	0.40 max	0.50 max	0.030 max	0.030 max	0.50 max	11.00~13.00	0.80~1.20				

Table 3. Comparison of N values determined by the chemical (Kjeldahl) and the vacuum fusion method. ($n=6\sim20$) *

Method	Sample		No. 2 Permaloy-50	No. 3 S-35-C	No. 4 SUS-27	No. 5 En 15
	Chemical (Kjeldahl)		30 ppm	80 ppm	337 ppm	105 ppm
Vacuum fusion	Cont. val. Press. measuring	Mo-hood used	17.7"	58.0"	328.3"	30.7"
		" not used	19.3"	54.0"	274.6"	33.4"
	Const. press Orsat	Mo-hood used	—	45.2"	—	11.8"
		" not used	—	37.1"	—	27.4"

* n : the number of test repeated.

在の分析条件および装置では、真空溶融法による各種鉄鋼のN分析値をN含有量とすることはできないと考える。

IV. COガスの抽出について

真空溶融法におけるCO抽出に関して合金元素Al, Mnの与える防害は周知の通りで種々の研究報告が発表されてきているが、定量的関係については未だ明らかにされていない現状である。本報ではこの点について調査するため、純鉄にAl, Mnなどを添加した試料を作成してO分析値を求めた。Fig. 7にMnおよびAlを添加したカプセル試料を示す。

これを溶融温度1850°Cの坩堝中に投入すると、ほとんど同時に溶融してFeとMnまたはAlが混合し各含有%の試料を分析すると同じ効果があると考えられる。なお、用いた純鉄試料および添加したMn, Alの化学成分をTable 4に示す。

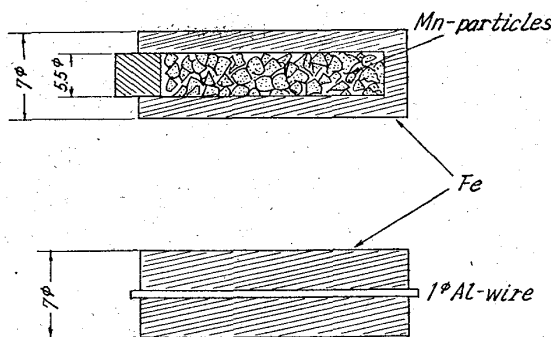


Fig. 7. Capsule sample.

Table 4. Chemical composition of sample Fe and Al, Mn (added)

No.	Sample	Element	C	Si	Mn	P	S	Ni	Cr	Cu	Al	Fe
1	Iron Mn Al		0.01 0.010	0.08 tr	0.03 99.92	0.007 0.002	0.011 0.028	0.02	tr	0.01	0.016 <99.9	0.018

純鉄試料のO含有量については定容測定式で110.2 ppm($\sigma = 4.34$)定圧オルザット式では107.3 ppm($\sigma = 7.45$)の値が求められている。

i) 実験は上記Fe試料にMn, Alをそれぞれ0.02, 0.05, 0.10, 0.15%添加してO分析値を調査した。各含有%の試料は定容測定式装置では、11~15個、定圧オルザット式装置では4個連続分析した。これにより求めた分析値の平均と各MnおよびAl含有%との関係をグラフに示すとFig. 8, Fig. 9のようになる。

装置の差異にかかわらず、AlまたはMnを添加したものでは明らかにその添加量の増加とともにO分析値が

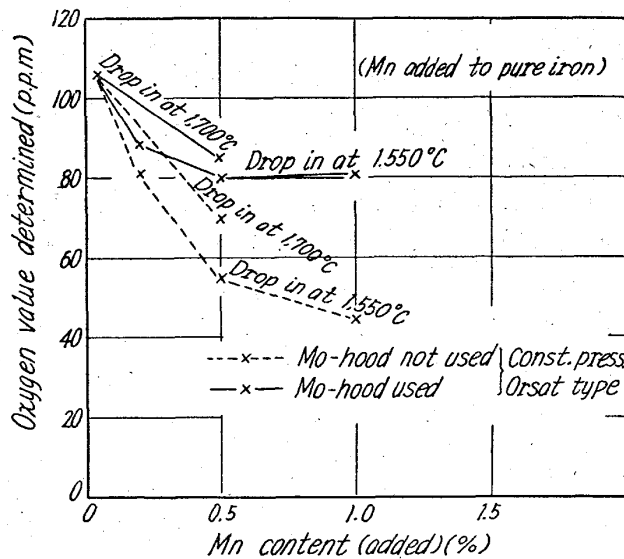


Fig. 8. Influence of Mn addition on the oxygen value determined.

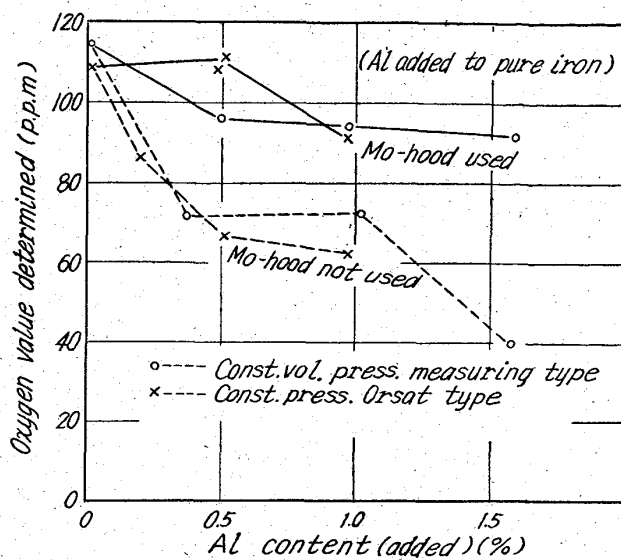


Fig. 9. Influence of Al addition on the oxygen value determined.

減少している。すなわち、Mn 1.0% 添加では、純鉄のO含有量の約40%まで、Al 1.5% 添加では、約35%程度まで減少していることが明らかである。また、Fig. 8 の Mn 添加の影響は投入温度を 1700°C に変えるとわずかに高値を示し高温での反応により CO 放出の速度が増加したためと考える。

ii) Mo フード使用の効果

上記の Mn, Al 添加によるO分析値への悪影響を防止するために、0.3mm 厚の Mo シートを Fig. 10 に示すように円錐状に切断組合せてフードを作成し、石英管にかぶせた。

分析条件は変更せず前項、i) と同様に純鉄に Mn, Al をそれぞれ 0, 0.2, 0.5, 1.0, 1.5% づつ添加して O 分析値に与える影響を調査した。Mn 添加に関しては Fig. 8 に Al 添加に関しては Fig. 9 に、Mo フードなしの場合と併記した。図から明らかなように Mo フードは Mn, Al の CO 抽出におよぼす悪影響を相当に防止する効果がある。目視観察によると、Mo フード使用状態では溶融炉管内壁に附着する蒸着金属の量がいちじるしく減少していることがわかつた。これは Mo フードの部分に黒鉛坩堝内から蒸発してくる金属が大部分蒸着してしまうためと考えられる。したがつて炉管内壁に蒸着する金属がいちじるしく減少し、CO 抽出が改善されるものと思われる。従来からいわれてきた、炉管内壁の金属蒸着膜による CO ガス吸着が起こることが明らかである。なお、Mo フード使用による効果は 100% でなく Mn, Al を添加したものは純鉄の O 有含量に対して低値を与えることが図からわかる。この点に関してはさらに検討を加える必要があると考えられる。

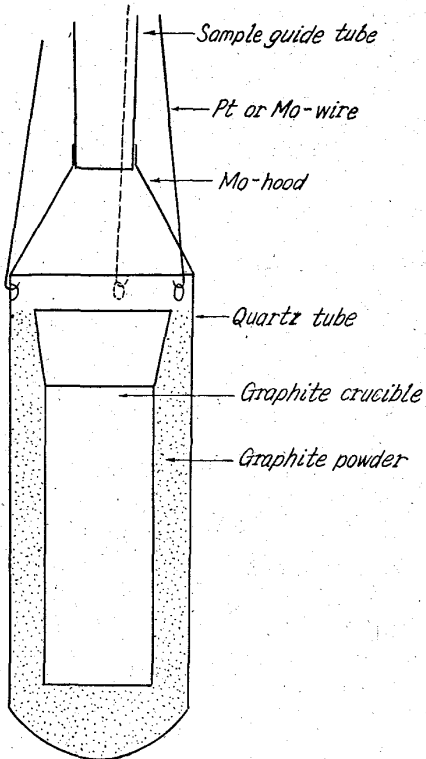


Fig. 10. Mo-hood in the state of use.

V. 考察

i) N の抽出に関しては、炭素鋼のようなものでも (Fig. 5 参照) 現在の分析条件では完全に抽出し得ないことが明らかになつた。Cr, V, Mo, Mn など N 溶解度を増加する⁸⁾¹¹⁾¹²⁾¹⁸⁾ 元素を含有する鋼種ではさらに抽出が遅れて不完全になることがわかつた。しかるにこの点に関して、われわれの用いた真空溶融法の反応温度 1850 °C は鉄鋼中の N 化合物を熱と C によって完全分解放出するに十分な条件であることが Z. M. TUROVTSEVA, 他の計算に (Table 5⁸⁾) より明らかである。このことは鉄鋼中の N は分解温度の低い N 化物としては存在せず、Cr, V などの含有により活量係数が減少して溶解^{11)~18)} 度が増加していることを意味する。一例として前川¹¹⁾, 他の溶鉄中への N 溶解度におよぼす影響を引用すると各元素 0 → 5% の增加に対して V の場合、N 溶解度は 400 → 1500 ppm, Cr の場合 400 → 750 ppm, Mn の場合 400 → 500 ppm, Mo の場合 400 → 480 ppm に増加する。したがつてその放出がもっぱら坩堝内溶融金属表面から真空器中への拡散に律せられる結果、N の抽出に長時間を要するものと考えられる。もちろんこの場合、酸化物と C の反応による CO ガスの激しいボイリング、N 溶解度を減少せしめる坩堝 C の溶解、またこれに伴う粘度の増加、上表層での粘稠炭化物の生成など複雑な副次的反応が作用するため一概に結論をつけることは困難であろ

Table 5. Pressure of N₂ (mmHg) for various mechanisms of decomposition of nitrides.

Mechanisms of decomposition	T°K	Mo ₂ N ₄	Si ₃ N ₄	VN	AlN	ZrN	UN	TiN	Th ₃ N ₄
Thermal dissociation $\langle Me_xN_y \rangle_s \rightarrow x\langle Me \rangle_s + y/2(N_2)_{gas}$	1800	$1 \cdot 6 \cdot 10^8$	$1 \cdot 34 \cdot 10^2$	83	$2 \cdot 66 \cdot 10^{-1}$	$3 \cdot 16 \cdot 10^{-8}$	$47 \cdot 10^{-5}$	$2 \cdot 4 \cdot 10^{-7}$	$29 \cdot 5 \cdot 10^{-7}$
	2000	$4 \cdot 2 \cdot 10^8$	$2 \cdot 05 \cdot 10^3$	$6 \cdot 0 \cdot 10^2$	9·1	$3 \cdot 16 \cdot 10^{-6}$	$25 \cdot 10^{-3}$	$1 \cdot 95 \cdot 10^{-5}$	$4 \cdot 8 \cdot 10^{-5}$
Me dissolves in iron bath: $\langle Me_xN_y \rangle_s = x(Me)_{sol.} + y/2(N_2)_{gas}$	1800	$1 \cdot 6 \cdot 10^{12}$	$2 \cdot 8 \cdot 10^7$	$6 \cdot 05 \cdot 10^3$	$1 \cdot 35 \cdot 10^4$	$1 \cdot 52 \cdot 10^{-9}$	4·35	$1 \cdot 2 \cdot 10^{-2}$	$3 \cdot 23 \cdot 10^{-3}$
	2000	$8 \cdot 1 \cdot 10^{12}$	$1 \cdot 2 \cdot 10^8$	$6 \cdot 9 \cdot 10^4$	$1 \cdot 62 \cdot 10^5$	$8 \cdot 5 \cdot 10^{-2}$	$1 \cdot 23 \cdot 10^{-2}$	$4 \cdot 8 \cdot 10^{-1}$	$1 \cdot 82 \cdot 10^{-1}$
Me forms carbide $\langle Me_xN_y \rangle_s + Z(C)_{s+} = \langle Me_xC_2 \rangle_s + y/2(N_2)_{gas}$	1800	$2 \cdot 08 \cdot 10^9$	$3 \cdot 4 \cdot 10^6$	$9 \cdot 5 \cdot 10^7$	54·6	$4 \cdot 25 \cdot 10^5$	$2 \cdot 75 \cdot 10^3$	$2 \cdot 08 \cdot 10^5$	3·38
	2000	$6 \cdot 75 \cdot 10^9$	$9 \cdot 7 \cdot 10^6$	$1 \cdot 58 \cdot 10^8$	$1 \cdot 04 \cdot 10^3$	$4 \cdot 25 \cdot 10^6$	$1 \cdot 25 \cdot 10^4$	$8 \cdot 9 \cdot 10^5$	40·6

う。

ii) また、Nの炉管内壁蒸着膜による吸着についてはTable 3にみられるようにMoフードを使用してもしなくてもN分析値に差がみられず、ほとんど影響がないと考えられ、各種文献⁸⁾¹⁰⁾¹⁴⁾によつてもこのような現象はないものと思われる。

iii) 真空溶融法によるNの分析に関しては上記の通り鋼中のCr, V, Mn, MoなどNの活量を減少して溶解度を増加する元素の他、2次的に溶鋼の粘稠化などが加わつて溶融試料からの抽出が不完全になる。したがつて

a) Nの活量を増加するような適当なフラックスまたは金層浴を用いて、ガス放出を促進し粘度の増大を防止する。

b) 律速段階と考えられる溶融金属表面からの拡散放出速度を上げるために抽出用水銀拡散ポンプの性能を良くする。などの点が考えられる。

iv) COガスの抽出に関しては、Al, Mnなどを添加した純鉄試料について、分析した結果、AlまたはMnがO分析値に低値を与えることを明らかにした。またこれら防害元素の添加量の増加に伴いO分析値の減少量も増加することがわかり従来不明であつたMnまたはAlのO分析値におよぼす定量的影響をある程度把握することができたと考える。

v) 上記Mn, Alなどの影響を防止するため、黒鉛坩堝をセットした石英管の上にMoフードをかぶせて相当の効果を上げることができたがまだ完全でないので日常作業においてこれらAl, Mnの有害元素を含有する鋼種について、真のO含有量を求めるることは種々問題があると思われる。このことは肉眼的観察による炉管内壁の蒸着膜の減少と考え合わせるとAl, Mnなどを含む炉管内壁の蒸着膜が坩堝内から反応抽出してきたCOを吸着してO¹⁴⁾分析値を低下させるためと考えられる。この蒸着膜によるCO吸着の機構を調査するために、各種の実験を行なつたので第2報で報告し、さらにO含有量の真値を求めるために研究を進める予定である。

V. 結 言

真空溶融法ガス分析装置による鋼中N, O分析実験を行ない、i) Nの抽出に関する各種合金元素の影響を調査し、N抽出が不完全になる理由を明らかにした。ii) O分析に関しては鋼中酸化物と坩堝黒鉛との反応生成物COガスが、炉管内壁蒸着膜に吸着されることを明らかにした。純鉄試料に加えたAl, Mnの量に比例して吸着量が増し、O分析値に低値を与えることがわかつた。またこの蒸着膜をMoフードによって防止する実験を行ない、相当の効果はあつたがまだ完全でないので、蒸着の機構を調査するとともにさらに真のO含有量を求める方法について研究を行なう必要があろう。

文 献

- 1) G. THANHEISER, E. BRAUNS: Arch. Eisenhüttenw., 9 (1935/36), p. 435
- 2) 米田: 鉄と鋼, 43 (1957) p. 395, 949
- 3) 米田: 日立評論, 40 (1958) 8, p. 1019
- 4) 沢: 鉄と鋼, 38 (1952), p. 567, 672
- 5) "The Determination of nitrogen in Steel" J.I.S.I Spc, Rep, No 62. B.I.S.R.A, (1958)
- 6) E. C. PIGOTT: "Ferrous Analysis" (1953)
- 7) 小鹿原, 岡本, 松本: 鉄と鋼, 47 (1960) 3, p. 110
- 8) Z. M. TUROVTSEVA & L. L. KUNIN: "Analysis of gases in metals" (1959) Publishing House of the Academy of Sciences of the U.S.S.R. (Authorized translation in English 1961)
- 9) D. L. GURNSEY, R. H. FRANKLIN, A. L. BEACH, & W. G. GULDNER A.S.T.M Special Technical Publication No. 222 (1957)
- 10) "The determination of gases in metals" J.I.S.I. (1960), Spc. Rep. No. 68. Soc. Anal. Chem
- 11) 前川, 中川: 鉄と鋼, 46 (1960), p. 748, 972
- 12) D. SMITH, L. ESTWOOD, D. CARNEY & C. SIMS: "Gases in Metals" (1953)
- 13) 三本木, 大谷: 鉄と鋼, 47 (1961) 6, p. 841~852
- 14) A. L. BEACH, W. G. GULDNER: Anal Chem., 31 (1959) 10, p. 1722